

Hypostomus dlouhyi, nouvelle espèce de poisson-chat cuirassé du Paraguay (Pisces, Siluriformes, Loricariidae)

par

Claude WEBER *

Avec 6 figures

ABSTRACT

Hypostomus dlouhyi, a new species of mailed catfish from Paraguay (Pisces, Siluriformes, Loricariidae). — *Hypostomus dlouhyi* sp. nov. is described from the Yguazú River basin, Caaguazú and Alto-Paraná departments, Paraguay. Morphological characters are discussed, and the species is compared with other species of the genus, especially those recognized in the Paraguay-Paraná River System.

INTRODUCTION

Le Muséum de Genève participe depuis 1978 à l'inventaire biologique du Paraguay en procédant en particulier à de nombreux prélèvements ichthyologiques dans les cours d'eau de ce pays. Une étude de la distribution des espèces d'*Hypostomus* au Paraguay a été entreprise et le présent travail en constitue une première note.

Comme l'ont récemment rappelé ISBRÜCKER & NIJSSEN (1984), *Hypostomus* Lacépède 1803, est, avec près de 120 espèces, le genre le plus abondant des *Loricariidae*. L'un des auteurs a établi le catalogue et une clé des genres de cette famille (ISBRÜCKER 1980, 1981).

En ce qui concerne la répartition d'*Hypostomus* au Paraguay, BERTONI (1939) ne cite que 6 espèces dans le catalogue systématique des poissons du Paraguay, seule liste existante pour ce pays; différents auteurs, traitant de la faune du Système Paraguay-Paraná, ont donné un aperçu un peu plus complet de sa répartition au sein de ce Système: PEARSON (1937) dans une discussion sur l'origine de l'ichtyofaune du bassin du rio Paraguay, men-

* Muséum d'histoire naturelle, case postale 434, CH-1211 Genève 6, Suisse.

tionne 11 espèces pour ce bassin; RINGUELET (1975) dans une étude zoogéographique en dénombre environ 11 dans le bassin du rio Paraguay, et 19 dans celui du rio Paraná, pour un total de 25 espèces réparties dans le Système.

GOSLINE (1947) a fait l'étude d'une partie des espèces de l'aire sud de répartition, en se fondant principalement sur des récoltes effectuées dans le sud-est du Brésil. Il commente 50 taxons, décrit une espèce nouvelle et reconnaît 15 espèces au bassin du Paraná. L'étude en cours des *Hypostomus* de nos récoltes paraguayennes comptant 220 exemplaires de 32 stations a permis de dénombrer provisoirement 11 espèces, y compris celle nommée ci-dessous.

Au cours de ce travail, il ne nous a pas été possible de rapporter à une espèce connue, un *Hypostomus* du bassin du rio Yguazú, récolté par Carlo Dlouhy, membre correspondant du Muséum. Cet *Hypostomus* a été retrouvé dans un autre affluent du même bassin, lors d'une récente mission du Muséum de Genève, à laquelle ont pris part F. Baud et V. Mahnert, accompagnés de C. Dlouhy.

Nous dédions cette nouvelle espèce à ce dernier, en hommage à son dévouement pour le bon accomplissement des missions du Muséum au Paraguay.

***Hypostomus dlouhyi* sp. nov.**

Matériel étudié: 20 exemplaires.

Holotype: 139,5 mm de longueur standard (LS); système du rio Paraná, sur un bras du lac de retenue du rio Yguazú (*non* Iguazu, Brésil), à la hauteur de la localité Juan E. O'Leary, 55° 20' 00" Ouest, 25° 25' 30" Sud, Paraguay, dép. Alto-Paraná; lg. C. Dlouhy, 21.VII.1984; Muséum d'histoire naturelle de Genève (MHNG) No. 2229.43.

Paratypes: 14 exemplaires, 123-245 mm de LS; récoltés en même temps que le type; MHNG No. 2229.44 (12), Zoölogische Museum Amsterdam, ZMA (1), Centro Forestal Alto-Paraná, CFAP (1). 5 exemplaires, 66-141 mm de LS; même système et bassin, arroyo Yuquyry (Yukyry), affluent du rio Yguazú, 17 km au sud de Yhú, 55° 58' 00" Ouest, 25° 12' 30" Sud, Paraguay, dép. Caaguazú; lg F. Baud, V. Mahnert & C. Dlouhy (4^e mission du Muséum au Paraguay), 11.IV.1985; MHNG No. 2229.45.

D i a g n o s e :

Hypostomus dlouhyi se caractérise par son allure élancée, et particulièrement par le rapport élevé de la longueur du pédicule caudal sur sa hauteur (de 5,0 à 6,5, moyenne 5,6). Ce caractère est associé à une diminution du nombre de scutes, transversalement disposées sur la partie distale du pédicule caudal, en corrélation avec la réduction (jusqu'à complète disparition) des scutes de la deuxième rangée longitudinale.

DESCRIPTION:

1) Caractères méristiques.

Scutes latérales du corps (à l'exclusion de la scutelle lancéolée à la base de la caudale): 28-30, généralement 29. Scutes prédorsales, entre le processus supraoccipital et la petite épine procurrente de la dorsale: 3. Scutes le long de la base de la dorsale: 7. Scutes entre la base du dernier rayon ramifié de la dorsale et la base du rayon ossifié de l'adipeuse: 9 (1 ex. 10). Scutes entre la base du rayon ossifié de l'adipeuse et la base de la caudale: 8 (1 ex. 9). Epines procurrentes du rayon ossifié supérieur de la caudale: 3. Scutes le long de la base de l'anale: 2. Scutes de la base du dernier rayon de l'anale à la base de la caudale: 16 (1 ex. 15, 1 ex. 17). Epines procurrentes du rayon ossifié inférieur de la caudale: 2. Scutes

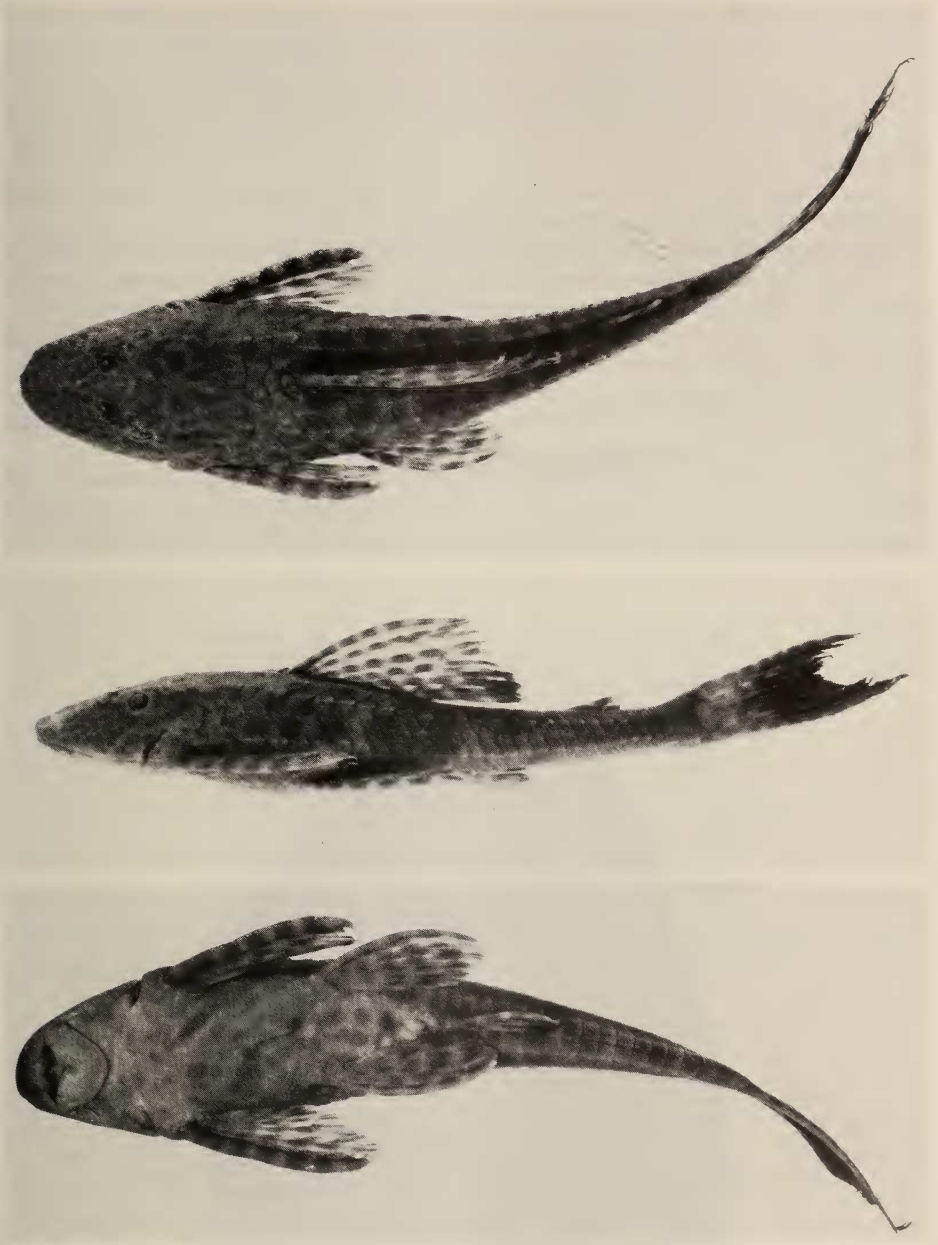


FIG. 1.

Hypostomus dlouhyi sp. nov. Holotype. Vues dorsale, latérale et ventrale. Photos G. Dajoz.

en séries transverses antérieures, juste postérieurement à la tête: 3-1-3. Scutes en séries transverses au point le moins haut du pédicule caudal: 6 (4 ex. 5, 4 ex. 7).

Nombre de dents prémaxillaires: 26-41, moyenne 32 (Holotype: 29 à gauche, 32 à droite). Nombre de dents mandibulaires: 26-35, moyenne 31 (Holotype: 32-31).

Nageoires: D I, 7. A I, 4. P I, 6. V (P2) I, 5. C I, 14, I. Aucune variabilité observée.

2) Morphologie.

Forme du corps généralisée, ressemblant à *Hypostomus commersonii*, mais le pédicule caudal différant de façon sensible par sa longueur.

Tête couverte d'ossifications dermiques, à l'exception d'aires dénudées sur la pointe et — dans une moindre mesure — de chaque côté sur le rebord antérieur du museau. Ce dernier est de contour ogival, avec la partie axiale légèrement surélevée et deux faibles bourrelets latéraux; bord supraorbitaire bien distinct; œil petit; supraoccipital plus élevé en sa portion médio-distale ou centrale; plaque temporale à l'aspect plus rugueux que les autres plaques, traversée à son quart supérieur par une arête munie d'odontodes plus développés, en continuation avec le bord supraorbitaire; arête post-supraoccipitale bifurquée, formant une élévation sur la partie axiale des scutes prédorsales.

Bouche petite; face externe de la lèvre supérieure garnie d'ossifications dermiques, à l'exception d'une marge postérieure nue; barbillon maxillaire présent; lèvre inférieure moyenne; os mandibulaires formant entre eux un angle de $100^\circ \pm 10^\circ$ (voir fig. 2).



FIG. 2.

Hypostomus dlouhyi sp. nov. Holotype: Détail de la bouche. Photo G. Dajoz.

Dents filiformes; couronne comprimée antéro-postérieurement, indentée extérieurement, avec une cuspidé adjacente, ne dépassant pas la mi-hauteur.

Dos et côtés du corps entièrement couverts de scutes, chacune traversée d'odontodes plus saillants formant 4 arêtes longitudinales, celle de la ligne latérale un peu moins marquée; ligne latérale complète; à chaque scute — excepté celle, lancéolée, à la base de la caudale — un bref canal infère, portant le pore, bifurque de la portion émergée du canal de la ligne latérale (visible sur les individus de grande taille).

Arêtes longitudinales persistant sur le pédicule caudal jusqu'à la hauteur de l'adipeuse, s'estompant postérieurement avec perte de l'alignement des scutes (provoquée par la disparition du deuxième rang longitudinal); scutes latéroventrales anguleuses.

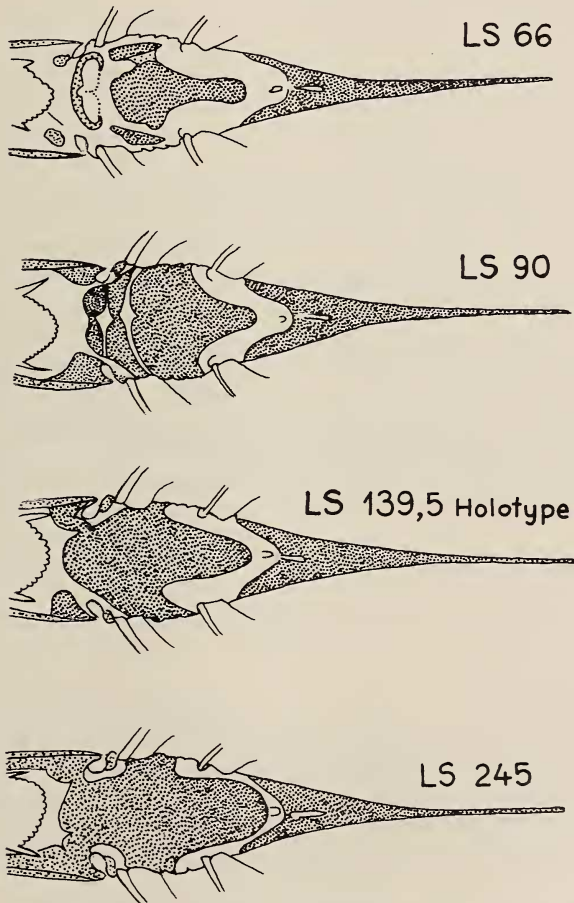


FIG. 3.

Répartition des zones nues ventrales en fonction de la croissance chez *Hypostomus dlouhyi* sp. nov.
Longueur standard (LS) en mm. Dessin G. Roth.

Abdomen, en avant de l'anus, presque complètement couvert de petites ossifications dermiques rhomboïdes; pas de scutelle préanale; ossifications dermiques s'étendant antérieurement jusqu'aux côtés de la tête, régulières jusqu'à la bande coracoïde, irrégulières au-delà; présence d'aires nues, se réduisant avec la croissance (voir fig. 3), en arrière de la lèvre inférieure, à la base de la pectorale et postérieurement à la membrane branchiostège, à la base de la ventrale en une large plaque rejoignant l'anus.

Nageoires avec rayons ossifiés couverts d'odontodes spiniformes à l'opposé de la membrane, les odontodes de la pectorale plus développés et unciformes dans le quart distal chez les individus les plus grands.

Caudale fourchue, lobe ventral plus développé, et le rayon ossifié ventral un peu plus long que le rayon dorsal. Pour la forme des autres nageoires, voir fig. 1.

Nombre de vertèbres, appareil de Weber et urostyle inclus: 30; nombre de paires de côtes: 3. (Deux exemplaires radiographiés.)

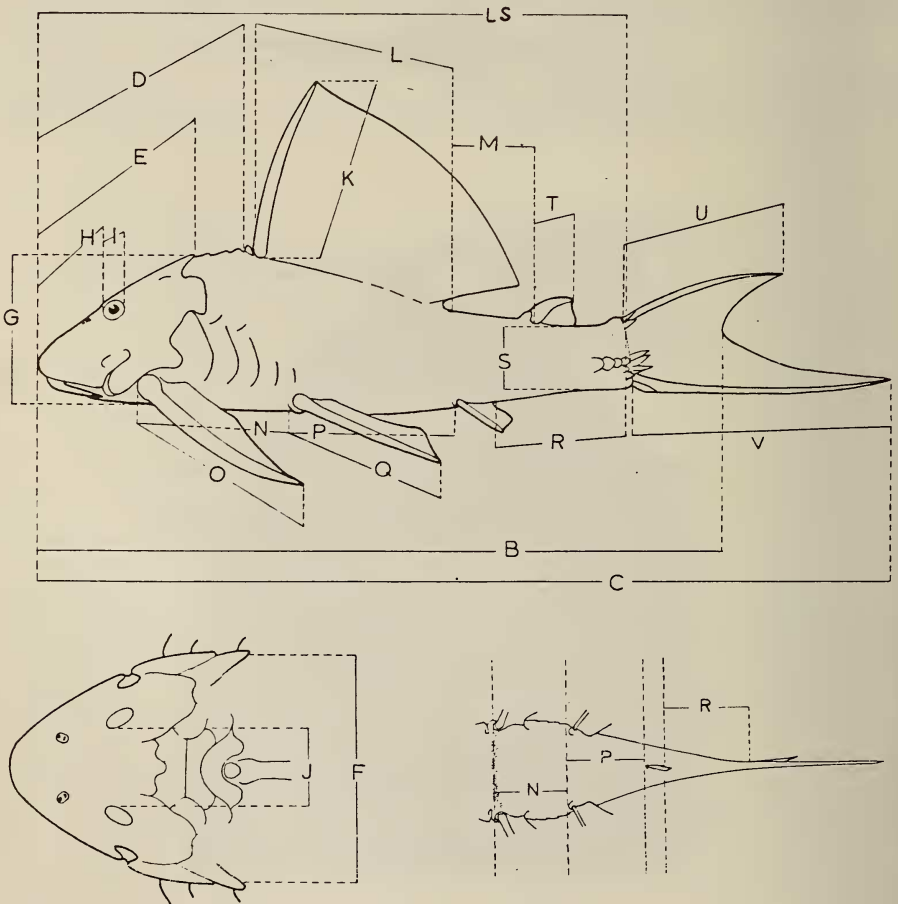


FIG. 4.

Schéma des mensurations (d'après M. BOESEMAN 1968).

3) Morphométrie (Tableau 1)

Méthodes:

La longueur standard est prise de l'extrémité du museau à la base de la scutelle médiane lanceolée; la longueur de la tête de l'extrémité du museau à la pointe du processus supraoccipital; la base de la nageoire dorsale de l'insertion du rayon ossifié à l'extrémité de la membrane de la nageoire; la longueur interdorsale de l'extrémité de la membrane de la nageoire dorsale à la base du rayon ossifié de l'adipeuse. (Figure 4)

Mensurations de l'holotype et leurs rapports comparés aux minima, maxima et aux moyennes mesurées sur la série-type:

Longueur standard (LS): 139,5. Longueur axiale (B): 172,5. Longueur totale (C): 189,6. Longueur prédorsale (D): 51,9; dans la LS (LS/D): 2,7 (2,5-2,9 moy. 2,7). Longueur de la tête (E): 41,4; dans la LS (LS/E): 3,4 (3,0-3,7 moy. 3,4). Ecartement cleithral (F): 32,8; dans la tête (E/F): 1,3 (1,2-1,4 moy. 1,2). Hauteur de la tête (G): 20,1; dans sa longueur (E/G): 2,1 (1,8-2,2 moy. 2,0). Longueur du museau (H): 24,4; dans la tête (E/H): 1,7 (1,6-1,8 moy. 1,7). Diamètre orbitaire (I): 5,25; dans la tête (E/I): 7,9 (6,1-9,3 moy. 7,9); dans l'écartement interorbitaire (J/I): 3,0 (2,0-3,5 moy. 3,0). Ecartement interorbitaire (J): 16,0; dans la tête (E/J): 2,6 (2,5-3,0 moy. 2,7). Longueur du rayon ossifié de la dorsale (K): 40,5; dans la LS (LS/K): 3,4 (3,2-3,8 moy.- sur 19 ex.- 3,5); dans la longueur prédorsale (D/K) 1,3 (1,2-1,5 moy.- sur 19 ex.- 1,3). Longueur basale de la nageoire dorsale (L): 30,2; dans la LS (LS/L): 4,6 (4,2-5,2 moy. 4,7). Longueur interdorsale (M): 31,4; dans la LS (LS/M): 4,3 (3,9-4,6 moy. 4,2). Longueur thoracique (N): 31,0; dans la LS (LS/N): 4,5 (4,2-5,0 moy. 4,7). Longueur du rayon ossifié de la nageoire pectorale (O): 38,7; dans la LS (LS/O): 3,6 (3,4-4,0 moy. 3,6). Longueur abdominale (P): 23,2; dans la LS (LS/P): 6,0 (5,4-6,6 moy. 5,8). Longueur du rayon ossifié de la nageoire ventrale (Q): 32,2; dans la LS (LS/Q): 4,3 (4,1-4,6 moy. 4,4). Longueur post-anale du pédicule caudal (R): 53,5; dans la LS (LS/R): 2,7 (2,6-2,8 moy. 2,6). Hauteur minimum du pédicule caudal (S): 9,5; dans la LS (LS/S): 14,7 (13,5-16,7 moy. 14,8); dans la longueur interdorsale (M/S): 3,3 (3,0-4,1 moy. 3,5); dans sa longueur post-anale (R/S): 5,6 (5,0-6,5 moy. 5,6). Longueur du rameau mandibulaire (RM): 5,15; dans l'écartement interorbitaire (J/RM): 3,1 (2,5-3,3 moy. 3,0). Longueur du rayon ossifié de l'adipeuse (T): 9,7. Longueur du rayon ossifié supérieur de la caudale (U): 45,4. Longueur du rayon ossifié inférieur de la caudale (V): 52,7.

Mensurations en millimètres.

Allométries estimées: (Régressions non calculées en raison d'un nombre insuffisant d'exemplaires).

Majorantes: E/F, E/G, E/H, E/J, A/K, D/K, A/L.

Minorantes: A/D, A/E, E/I.

4) L i v r é e

(Couleurs de l'holotype en alcool).

Couleur de fond gris-brunâtre, sauf les parties ventrales blanchâtres; taches noirâtres, celles de la partie dorsale arrondies, bien définies et petites sur le museau (1,5 mm), postérieurement graduellement moins nettes et plus grandes (7 mm), proportionnellement plus petites chez les grands individus (voir fig. 5); ventrales plus pâles, en avant mal définies et petites, postérieurement plus grandes (4 mm), coalescentes sur l'holotype, plus souvent sub-arrondies.

Nageoires avec rayon ossifié jaunâtre barré de noirâtre (nombre de barres: D 7, P 7, V 6, A 4, Ad 1, C 10); membranes et rayons ramifiés grisâtres, traversés de taches noirâtres en rangs transversaux alignées sur les barres, chacune axée sur le rayon ramifié et débordant de part et d'autre sur la membrane, celles de la caudale coalescentes.

Dents blanches à couronne ambre.

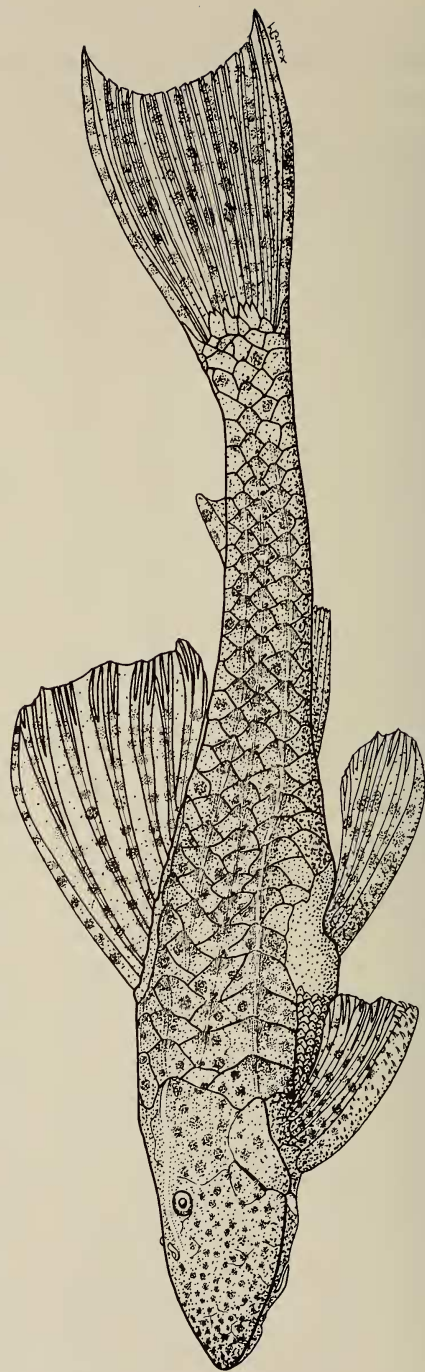
Données morphométriques des 20 spécimens de la série-type d'*Hypostomus dlouhi* sp. nov.

	1	2	3	4	5	6	7	8	9
L. Stand.	66.0	90.5	100.5	123.0	124.1	136.7	139.5	141.1	142.7
Mes. B	82.7	112.0	123.2	150.5	153.3	168.0	172.5	173.0	176.1
Mes. C	87.5	122.0	135.2	165.0	168.0	183.5	189.6	187.5	189.0
Mes. D	26.2	35.3	37.0	46.1	46.4	52.0	51.9	52.2	51.6
A/D	2.5	2.6	2.7	2.7	2.7	2.6	2.7	2.7	2.8
Mes. E	21.8	28.4	31.0	37.0	36.5	41.6	41.4	41.7	41.6
A/E	3.0	3.2	3.2	3.3	3.4	3.3	3.4	3.4	3.4
Mes. F.	15.7	21.5	24.2	27.8	29.0	33.0	32.8	33.1	34.2
E/F	1.4	1.3	1.3	1.3	1.3	1.3	1.3	1.3	1.2
Mes. G	10.0	13.9	15.0	18.2	17.5	20.9	20.1	20.6	20.2
E/G	2.2	2.0	2.1	2.0	2.1	2.0	2.1	2.0	2.1
Mes. H	12.1	16.2	17.7	21.3	21.2	24.7	24.4	24.1	24.7
E/H	1.8	1.8	1.8	1.7	1.7	1.7	1.7	1.7	1.7
Mes. I	4.6	4.5	4.4	5.0	5.1	5.5	5.3	5.2	5.5
E/I	6.1	6.5	7.0	7.4	7.2	7.6	7.9	8.0	7.6
Mes. J	7.2	10.0	11.3	13.9	12.8	15.5	16.0	14.8	15.1
E/J	3.0	2.8	2.7	2.7	2.9	2.7	2.6	2.8	2.8
Mes. K	17.2	24.0	28.4	35.6	33.6	39.0	40.5	37.2	41.2
A/K	3.8	3.8	3.5	3.5	3.7	3.5	3.4	3.8	3.5
D/K	1.5	1.5	1.3	1.3	1.4	1.3	1.3	1.4	1.3
Mes. L	12.8	18.7	21.4	25.9	24.9	29.7	30.2	29.6	31.3
A/L	5.2	4.8	4.7	4.7	5.0	4.6	4.6	4.8	4.6
Mes. M	15.0	21.2	23.5	29.2	31.5	33.7	31.4	32.6	32.5
A/M	4.4	4.3	4.3	4.2	3.9	4.1	4.4	4.3	4.4
Mes. N	14.7	20.2	21.0	26.2	26.4	28.5	31.0	30.4	29.7
A/N	4.5	4.5	4.8	4.7	4.7	4.8	4.5	4.6	4.8
Mes. O	16.7	25.0	28.1	34.1	32.4	37.3	38.7	36.8	39.3
A/O	4.0	3.6	3.6	3.6	3.8	3.7	3.6	3.8	3.6
Mes. P	10.0	16.0	15.6	20.2	19.2	24.6	23.2	25.7	25.7
A/P	6.6	5.7	6.4	6.1	6.5	5.6	6.0	5.5	5.6
Mes. Q	14.3	20.7	22.0	26.6	29.1	31.0	32.2	31.0	33.5
A/Q	4.6	4.4	4.6	4.6	4.3	4.4	4.3	4.6	4.3
Mes. R	25.5	35.3	38.5	45.8	47.2	50.6	52.7	53.5	52.8
A/R	2.6	2.6	2.6	2.7	2.6	2.7	2.6	2.6	2.7
Mes. S	3.95	5.7	7.1	8.2	7.8	9.5	9.5	8.5	10.6
A/S	16.7	15.9	14.2	15.0	16.0	14.4	14.7	16.6	13.5
M/S	3.8	3.7	3.3	3.6	4.1	3.5	3.3	3.8	3.1
R/S	6.5	6.2	5.4	5.6	6.1	5.3	5.6	6.3	5.0
Mes. T	3.7	5.3	6.6	7.7	7.9	8.7	9.7	9.1	8.6
Mes. RM	2.9	3.4	4.6	4.3	4.7	5.3	5.2	5.1	5.1
J/RM	2.5	2.9	2.5	3.2	2.8	2.9	3.1	2.9	3.0
J/I	2.0	2.3	2.6	2.8	2.5	2.8	3.0	2.8	2.7

TABLEAU 1 (suite)

10	11	12	13	14	15	16	17	18	19	20
153.0	154.5	154.7	165.0	166.1	180.6	194.1	217.9	218.5	228.6	245.5
191.6	194.5	194.2	205.0	209.0	222.5	242.1	268.7	275.7	284.7	307.5
205.0	212.5	211.2	226.1	228.0	240.0	263.0	296.4	303.5	310.0	325.0
54.2	58.9	55.6	59.5	62.4	63.5	70.0	79.3	77.9	81.2	86.0
2.8	2.6	2.8	2.8	2.7	2.8	2.8	2.7	2.8	2.8	2.9
43.2	45.1	44.1	47.9	49.5	48.9	55.5	59.9	63.4	64.4	68.5
3.5	3.4	3.5	3.4	3.4	3.7	3.5	3.6	3.4	3.5	3.6
36.2	38.6	36.3	38.9	38.9	41.4	46.9	51.1	54.4	52.4	58.6
1.2	1.2	1.2	1.2	1.3	1.2	1.2	1.2	1.2	1.2	1.2
22.6	23.5	23.0	24.5	25.7	25.8	29.9	32.8	33.9	34.7	37.2
1.9	1.9	1.9	2.0	1.9	1.9	1.9	1.8	1.9	1.9	1.8
25.5	27.0	26.3	28.8	29.5	29.6	33.8	37.3	39.2	38.4	40.6
1.7	1.7	1.7	1.7	1.7	1.7	1.6	1.6	1.6	1.7	1.7
5.7	5.8	5.5	5.8	5.7	5.9	6.4	7.1	7.1	7.3	7.4
7.6	7.8	8.1	8.3	8.7	8.3	8.7	8.4	8.9	8.9	9.3
16.8	17.7	17.3	18.9	18.8	18.5	22.3	22.8	24.8	23.6	25.8
2.6	2.5	2.6	2.5	2.6	2.6	2.5	2.6	2.6	2.7	2.7
1.0	45.7	44.6	46.4	50.6	52.0	60.2	61.5	66.1	68.1	74.2
1.0	3.4	3.5	3.6	3.3	3.5	3.2	3.5	3.3	3.4	3.3
1.0	1.3	1.2	1.3	1.2	1.2	1.2	1.3	1.2	1.2	1.2
33.2	32.8	33.2	34.0	35.3	36.7	45.8	48.1	49.4	51.5	52.9
4.6	4.7	4.7	4.9	4.7	4.9	4.2	4.5	4.4	4.4	4.6
38.0	39.5	35.7	36.1	41.1	45.6	46.2	55.0	49.1	56.0	56.7
4.0	3.9	4.3	4.6	4.0	4.0	4.2	4.0	4.5	4.1	4.3
32.2	32.1	34.5	33.2	33.3	37.7	38.7	45.0	51.8	52.5	54.4
4.8	4.8	4.5	5.0	5.0	4.8	5.0	4.8	4.2	4.4	4.5
42.2	45.0	44.3	44.6	47.7	48.0	54.8	58.9	62.4	59.8	71.2
3.6	3.4	3.5	3.7	3.5	3.8	3.5	3.7	3.5	3.8	3.4
27.0	28.2	28.1	30.7	29.1	30.5	32.6	36.7	36.5	40.5	44.0
5.7	5.5	5.5	5.4	5.7	5.9	6.0	5.9	6.0	5.6	5.6
36.3	37.6	35.7	38.5	39.0	41.1	45.6	49.9	52.0	52.1	58.3
4.2	4.1	4.3	4.3	4.3	4.4	4.3	4.4	4.2	4.4	4.2
58.8	56.0	59.0	63.3	64.0	69.0	71.9	84.7	81.3	85.0	93.4
2.6	2.8	2.6	2.6	2.6	2.6	2.7	2.6	2.7	2.7	2.6
10.6	11.0	11.0	11.7	11.4	11.2	13.7	14.5	16.1	16.5	17.3
14.4	14.0	14.1	14.1	14.6	16.1	14.2	15.0	13.6	13.9	14.2
3.6	3.6	3.2	3.1	3.6	4.1	3.4	3.8	3.0	3.4	3.3
5.5	5.1	5.4	5.4	5.6	6.2	5.2	5.8	5.0	5.2	5.4
10.4	10.6	10.5	10.2	10.7	12.5	13.7	15.1	15.2	13.0	17.0
5.4	5.9	5.5	5.7	6.0	5.9	7.0	7.6	8.1	7.8	8.1
3.1	3.0	3.1	3.3	3.1	3.2	3.2	3.0	3.1	3.0	3.2
2.9	3.1	3.2	3.3	3.3	3.1	3.5	3.2	3.5	3.3	3.5

FIG. 5.
Hypostomus dlouhyi sp. nov. Paratype LS 245 mm. Dessin M. Guex.



PARASITES:

Présence de parasites commensaux, de la famille des Chironomides (*Diptera*), chez 3 spécimens de l'Ao Yuquyry, sous forme de larves et d'une nymphe fixées à la base de la membrane de la caudale (5), sur la marge postérieure de l'interoperculaire (4), à la base de la pectorale (4), sur la marge postérieure du cleithrum (2), sur le dos, près de la dorsale (2).

Un spécimen du rio Yguazu, parasité par un Hirudine (*Annelida*), fixe à la commissure de la lèvre.

HABITAT:

Le bassin du rio Yguazú est tributaire du rio Acaray, qui appartient au système du rio Paraná, tout en étant séparé par des chutes. Divers ouvrages hydrauliques en ont récemment modifié le régime: barrage sur l'Acaray et retenue d'eau sur l'Yguazú.

Mesures prises dans l'arroyo Yuquyry le 11 avril 1985 à 11 h., T° de l'air de 22,1° (12 heures après précipitation et crue de 1000 mm): T° 21°, pH 5,3, résistivité 0,097 mV.

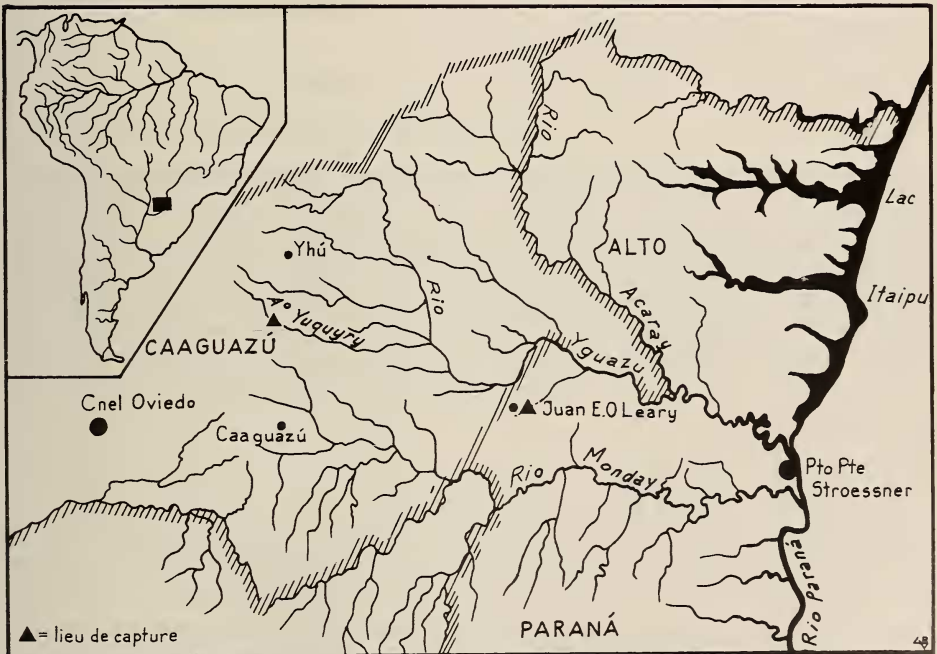


FIG. 6.

Carte du bassin du rio Yguazú, avec lieux de récoltes d'*Hypostomus dlouhyi* sp. nov. Dessin G. Roth.

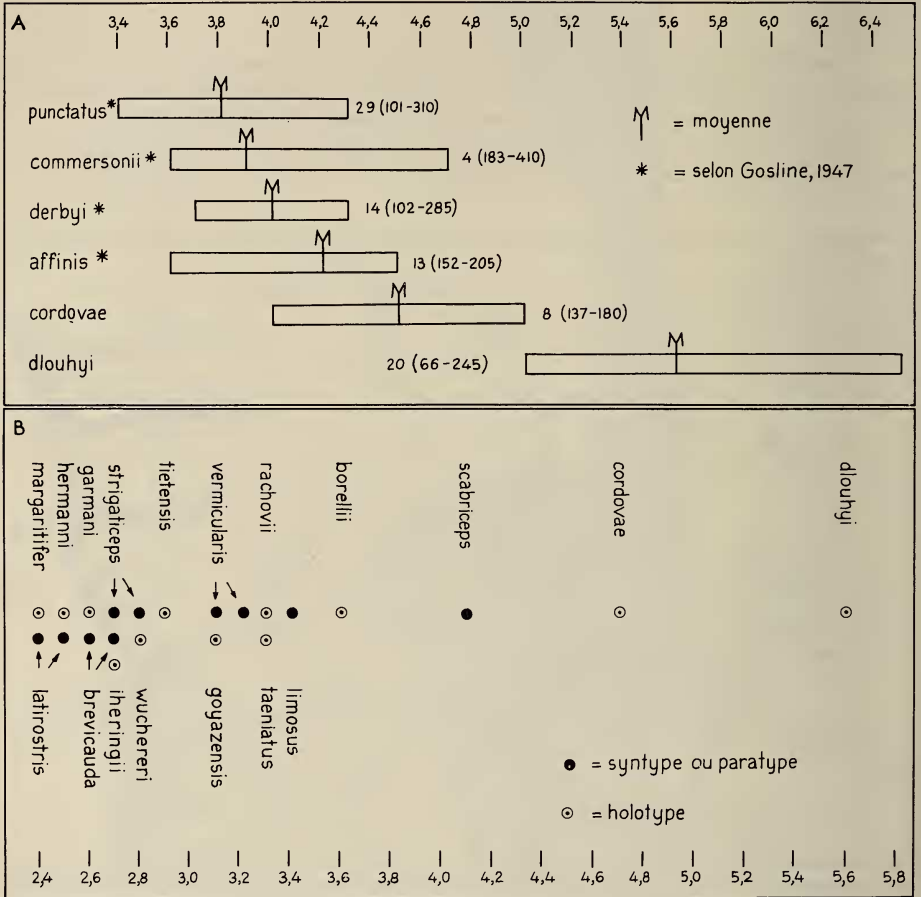
DISCUSSION:

Dans le genre en général, et particulièrement pour son aire de répartition sud, GOSLINE (1947), débordant du cadre strict de l'ichtyofaune sud-est brésilienne, distingue dans sa clé provisoire d'identification, *Hypostomus commersonii* et formes proches, par le rapport élevé de la longueur du pédicule caudal sur sa hauteur (plus de 3,6) associé à 27-30 scutes à la LL et une livrée à taches sombres sur la tête, le corps et les nageoires.

TABLEAU 2.

A: Diagramme des valeurs du rapport longueur/hauteur du pédicule caudal chez 4 espèces du groupe *H. commersonii* avec en sus *H. cordovae* et *H. dlouhyi* sp. nov.

B: Diagramme des valeurs du rapport longueur/hauteur du pédicule caudal chez les holotypes ou paratypes de 18 espèces d'*Hypostomus* méridionaux.



Hypostomus dlouhyi, s'apparente au groupe d'*H. commersonii*, défini par GOSLINE, avec 28-30 scutes à la LL, une livrée maculée de taches et 5,0-6,5 de rapport longueur/hauteur au pédicule caudal.

Ce dernier rapport extrêmement élevé chez *H. dlouhyi* le sépare aisément des autres espèces discutées par GOSLINE ainsi que celles des *Hypostomus* méridionaux dont les types ont déjà été examinés par l'auteur (tableau 2, A & B).

Parmi les espèces méridionales non étudiées par GOSLINE, *H. cordovae* (8 spécimens mesurés, dont l'holotype), avec un rapport longueur/largeur du pédicule caudal de 4,0-5,0 (tableau 2, A & B) est le plus proche de *H. dlouhyi* par ce caractère, mais s'en distingue

par un rapport longueur mandibulaire/espace interorbitaire de 1,4-1,9 contre 2,5-3,3 chez *H. dlouhyi* (ce qui éloigne *H. cordovae* du groupe d'*H. commersonii*, dont ce rapport est au minimum de 2,6 selon GOSLINE).

Ce dernier caractère morphométrique est le premier utilisé dans la clé des espèces d'Argentine de RINGUELET *et al.* (1967). Selon cette clé *H. dlouhyi* s'apparente à nouveau à *H. commersonii*, dont il se distingue, à une exception près, par une longueur basale généralement inférieure à la longueur interdorsale, supérieure chez *H. commersonii*.

Hypostomus commersonii a été originellement décrit du rio Sao Francisco (centre-est brésilien) et du rio de la Plata. REGAN (1904) le redécrit en se basant sur des spécimens du rio de la Plata et ses tributaires, et le signale au Rio Grande do Sul.

RINGUELET (1975) le donne du rio Paraná et Paraguay, d'où il est déjà signalé par PEARSON (1937).

Les chutes de l'Acaray semblent avoir été une barrière suffisante pour que se développe dans son bassin, des formes endémiques, hypothèse renforcée par la répartition restreinte à ce bassin d'*Hypostomus dlouhyi*.

REMERCIEMENTS

A M. le Ministre H. Bertoni, M. Ing. Agr. y Ftal P. Calabrese et au Dr M. Miranda du Ministère paraguayen de l'Agriculture et de l'Élevage, ainsi qu'à M. L. Baumgartner, directeur de la coopération technique suisse (COTESU), pour leur appui total donné au Muséum de Genève dans sa participation à l'inventaire biologique du Paraguay; à Mme C. Buti de Lozano, de l'Institut Miguel Lillo, aux docteurs G. J. Howes du British Museum (Nat. Hist.) et M. J. P. Van Oijen du Rijksmuseum van Natuurlijke Historie, Leiden, pour les mises à disposition et prêts de matériel; aux docteurs M. Boeseman, J. Géry et V. Mahnert pour leurs précieux conseils et encouragements.

BIBLIOGRAPHIE

- BERTONI, A. de W. 1939. Catálogos Sistemáticos de los Vertebrados del Paraguay. *Revista Soc. cient. Paraguay.* 4 (4): 3-59.
- BOESEMAN, M. 1968. The genus *Hypostomus* Lacépède, 1803, and its Surinam representatives (*Siluriformes, Loricariidae*). *Zoöl. Verh. Leiden.* 99: 1-89, 18 pls.
- GOSLINE, W. A. 1947. Contribution to the Classification of the Loricariid Catfishes. *Arqs. Mus. nac. Rio de Janeiro.* 41: 79-134, 9 pls.
- ISBRÜCKER, I. J. H. 1980. Classification and catalogue of the mailed *Loricariidae* (*Pisces, Siluriformes*). *Versl. Techn. Geg., Inst. Taxon. Zoöl. (Zoöl. Mus.), Univ. Amsterdam.* 22: 1-181.
- 1981. A treatise of the *Loricariidae* Bonaparte, 1831, a family of South American mailed catfishes, with emphasis of the subfamily *Loricariinae* (*Pisces, Siluriformes*). *Thèse. Univ. Nancy I:* 224 pp.
- ISBRÜCKER, I. J. H. & H. NIJSSEN. 1984. *Hypostomus nematopterus*, a new species of mailed catfish from the Oyapock river System, French Guyana. (*Pisces, Siluriformes, Loricariidae*). *Bull. Zoöl. Mus. Univ. Amsterdam.* 10 (2): 9-14. 1 fig.

- PEARSON, N. E. 1937. The Fishes of the Beni-Mamore and Paraguay basins and a discussion of the origine of the Paraguayan fauna. *Proc. Calif. Acad. Sci.* 23 (8): 99-114.
- REGAN, C. T. 1904. A Monograph of the Fishes of the Family Loricariidae. *Trans. zool. Soc. Lond.* 17 (3): 191-351. Pl. 9-21.
- RINGUELET, R. A. 1974. Zoogeografía y ecología de los peces de aguas continentales de la Argentina y concideraciones sobre las áreas ictiológicas de América del Sur. *Ecosur, Argentina*, 2 (3): 1-122.
- RINGUELET, R. A., R. H. ARÁMBURU & A. ALONSO DE ARÁMBURU. 1967. Los peces argentinos de agua dulce. *Comision de Investig. cient., La Plata*. 602 pp.